

&lt;번역論文&gt;

## Alumina 被膜의 構造와 發色에 關한 研究(Ⅱ)

高橋俊郎\* 呂運寬\*\*訳

### 3. 陽極酸化被膜의 構造

#### 3-1 序言

前章까지의 結果에 의하여 被膜은 약간의 電解液成分과 素材中の 合金成分을 含有한 非晶質의 알루미늄 酸化物임이 判明되었다. 이에 本章에서는 被膜構造를 더욱 詳細히 檢討하기 위하여 電子線回折法에 의한 被膜構造의 解析, X線マイクロアナライ저에 의해, 被膜中의 Al K $\alpha$  線으로부터 Al과 O의 結合狀態의 解析 및 X線動徑分布解析法에 의한 被膜構造의 解析등을 行하였다.

#### 3-2 実験方法 및 測定方法

##### 3-2-1 試料 및 試料調製法

###### 3-2-1-1 電子線回折用試料

試料는 黃酸被膜, 薄酸被膜, 硫酸 살릴酸 被膜의 3種類로 하고 被膜生成 條件은 表 2-2 (금속표면처리 12卷 3號 p.184)에 나타낸 것과 같다. 機械的으로 구부여서 剥離한 被膜을 다시 微細粉으로하여 測定用試料로 하였다.

###### 3-2-1-2 X線微量分析用試料

試料로서 사용한 陽極酸化被膜은 表 2-2 (금속표면처리 12卷 3號 p.184)에 나타낸 八種類로 하였다. 陽極酸化後에 이것을 約 1mm로 切斷

하고 樹脂中에 묻어서 炭化硅素의 研磨紙 및 ダイアモンドペイスト를 사용하여 研磨後 超音波 洗淨을 행한 것을 試料로 하였다.

##### 3-2-1-3 X線動徑分布解析用試料

使用한 試料는 마찬가지로 表 2-2 (금속표면처리 12卷 3號 p.184)에 나타낸 八種類이며 被膜을 剥離後 微粉化한 것을 試料로 하였다.

##### 3-2-2, 測定方法

###### 3-2-2-1 電子線回折法에 의한 測定

裝置는 日本電子株式會社製・JEM-100B型 電子顯微鏡을 使用하였다. 攝影條件은 加速電壓 80 KV, 露光時間 約 40秒로 回折像을 取하였다. 標準回折像에는 金箔과 酸化マグネ슘의 單結晶을 사용하였다. 이것들을 基本으로하여 被膜의 面間隔을 求하고 또 ASTM카드와 対照하여 그 同定을 行하였다.

###### 3-2-2-2 X線微量分析器에 의한 Al K $\alpha$ 線의 測定

一般으로 Al과 O의 結合狀態가 變化하면 Al K $\alpha$  線의 ケミカルシフト (Chemical Shift) 가 일어난다. 그러므로 8種類의 被膜에 관하여 Al K $\alpha$  線의 ケミカルシフト를 測定하여 그것과 配位數 既知의 알루미늄 化合物 (配位數 4의 CaO·Al<sub>2</sub>O<sub>3</sub>)의 그것과를 比較함으로써 被膜中의 알루미늄의 配位數를 檢討하였다.

裝置는 島津製作所製・ARL・EMX-2A型을 使用하고 分光結晶은 ADP로서, 加速電壓 20 KV 試料電流 約 0.01  $\mu$ A, 溫度 24 ± 1°C의 條件에서 測定하였다. 測定에 임하여서는 알루미늄의 X線強度가 1,000 ~ 10,000 cps가 되도록 電子線徑을 2 $\mu$ 로 하고 Al K $\alpha$  線의 피크를 ステップカーニング法 (ステップ幅 0.001 Å, 計數時間 20秒)으로 測定하였다. ステップ의 幅의 測定誤差는  $2 \times 10^{-4}$  Å

\* 日本輕金屬工業(株)取締役開発本部長

\*\* 弘益工業専門大學 教授

이며, 電子線의 照射時間은 4 分以内로 하였다.

### 3-2-2-3 X線動径分布 解析法

被膜을構成하는重要한元素인 Al과 O에관하여 미리想定한 Al-O結合의 모델의 그것들과比較하여 그最隣接原子의原子間距離와配位數등을檢討하였다. X線動径分布解析을 다음과 같은順序로行하였다.

#### (i) 被膜의 密度와 含有元素의 몰比의測定

被膜의密度는 피크노메테를使用하고浸液으로서 벤젠과四鹽化炭素를使用하였다. 몰비는表2-4(금속표면처리12卷3號p.186)의化學分析值에서計算하였다.

#### (ii) X線散亂强度의測定

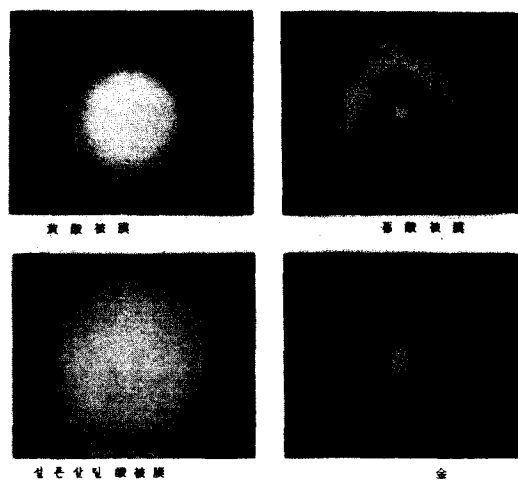
裝置는理學電機株式會社製·D-9C型粉末X線디프랙트메터를使用하였다. X線의散亂强度曲線은 Cu K $\alpha$ 와 Mo K $\alpha$ 의 2개에 의하여얻었다. Cu K $\alpha$ 線에관하여서는 3 °C에서 78 °C의範圍에서 1 °C마다  $\sin\theta/\lambda$ 가 0.4까지, Mo K $\alpha$ 線에관하여서는 15 °C에서 92 °C의範圍에서 0.5 °C마다  $\sin\theta/\lambda$ 가 0.1까지求하였다.

測定은 40秒의定時法으로스텝스캐닝法에의하여行하였다.

## 3-3 実験結果

### 3-3-1 電子線回折法에 의한結果

黃酸被膜, 修酸被膜, 硫化 살릴酸被膜의試料에관한電子線回折像을寫真3-1에나타낸다. 写真에는回折斑點과하로우狀의環을볼수있었다. 이回折像을基本으로하여解析을行한結果를表3-1에나타낸다. 이들實測值는ASTM카드의 $\gamma$ -Al<sub>2</sub>O<sub>3</sub>의值와符合되는것이었다.



寫真3-1 優化被膜의電子線回折像

### 3-3-2 被膜中의 알루미늄의 케미칼실크트의 测定

圖3-1에나타낸것같은 Al K $\alpha$ 線의强度分布曲線에서 알루미늄素材와被膜中의 알루미늄의 Al K $\alpha$ 線의波長 $\lambda_1$ 과 $\lambda_2$ 에서 케미칼실크트를求하고被膜中의 알루미늄의配位數를比較検討하였다. 이 케미칼실크트의值를表3-2에나타낸다.

그值는平均하여서 0.0016~0.0020 Å이며이것들의值를分光結晶EDDT를使用했을경우의 $A2\theta$ 로換算한值와從來의研究에의한值<sup>24)</sup>와를比較하였다. 그結果는圖3-2에나타난바와같이 알카리性被膜을除外하면 Al K $\alpha$ 線의 케미칼실크트는4내지6配位의거의中間에相當하는值를나타냄을알아냈다.

### 3-3-3 X線動径分布解析法에 의한結果

被膜中의含有元素의 몰비 및 密度를表3-3에나타낸다. X線散亂强度의測定은吸收因子偏光因子의補正을行하고 Cu K $\alpha$ 에서얻은值와Mo K $\alpha$ 에서얻은值와를 $\sin\theta/\lambda$ 가0.2~0.4의範圍에서서로연결을맺어 콘프론散亂을補正한후에規格화를行하고絕對尺度로換算하였다.

圖3-3에는一例로서修酸被膜의X線散亂强度曲線을나타낸다. 또補正된修酸被膜의그것을圖3-4中의曲線(I)은補正曲線이며曲線(II)은全散亂强度의理論值이다.

散亂强度曲線의值를下記式에의하여Fourier變換하여示差動径分布関數值를얻었다.

$$4\pi r^2 \sum_m K_m (g_m(r) - g_o) = \frac{2r}{\pi} f_0^\infty S_i(S) \sin S r dS$$

여기서 $K_m$ 은原子의種類에의한定數, $g_m(r)$ 은電子密度分布関數, $g_o$ 는 $g_m(r)$ 의平均值 $r$ 은任意의原子로부터의距離이다. 얻어지는結果를橫軸에原子間距離,縱軸에示差動径分布函數值로서프로트하였다.代表的인것을圖3-5圖3-6에나타낸다.

이曲線의피크의位置는被膜中에存在하는原子對의原子間距離를나타내는것이다.表3-4에는그들原子間距離를나타낸다.

## 3-4 考察

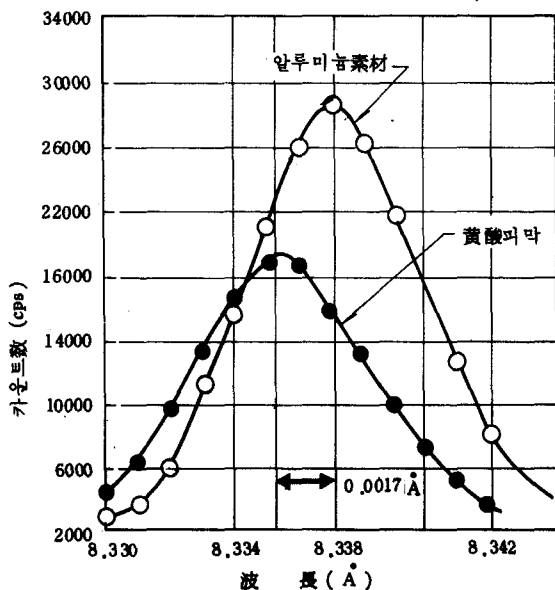
電子線回折法에의하여黃酸被膜, 修酸被膜, 硫化 살릴酸被膜을조사한결과그것들은表3-1에나타낸바와같이ASTM카드의 $\gamma$ -Al<sub>2</sub>O<sub>3</sub>의그것과거의一致한다는것을알수있었다. 따라서電子線回折의解析結果로는回折에寄与

表 3-1

被膜의 電子回折像의 解析結果

實測值			$\gamma\text{-Al}_2\text{O}_3$ (ASTM에 의함)		
黃酸被膜	麻酸被膜	설포살릴酸被膜	$d(\text{\AA})$	$I/I_0$	$hkl$
$d(\text{\AA})$	$d(\text{\AA})$	$d(\text{\AA})$	$d(\text{\AA})$	$I/I_0$	$hkl$
4.54 m	-	-	4.56	40	111
2.63 w	2.79 w	2.77 w	2.80	20	220
2.34 m	2.40 m	2.37 m	2.39	80	311
-	-	-	2.28	50	222
1.74 s	1.59 s	1.95 s	1.977	100	400
1.53 w	1.52 s	1.51 w	1.520	30	511
1.33 s	1.38 s	1.38 s	1.395	100	440
-	-	-	1.140	20	444

(註) s는 Strong, m는 Medium, w는 Weak의 略號이다.

图 3-1. 化学結合變化에 따른  $\text{Al K}\alpha$ 線 스펙트럼의 变化

하는 物質은  $\gamma\text{-Al}_2\text{O}_3$ 을 主体로 하는 物質이라는 것 이 結論지워졌다.

X線マイクロアナライザ에 의하여前述한 8種의 試料에 관하여 그들  $\text{Al K}\alpha$ 線의 케미칼실크를 檢討한 結果를 表 3-2에 나타냈는데  $42\theta$ 의 値는  $0.065 \sim 0.081^\circ(2\theta)$ 의範圍에 들어있다. 이들 値는 配位數 4의  $\text{CaO} \cdot \text{Al}_2\text{O}_3$ 의 値  $0.041^\circ(2\theta)$ 와 配位數 6의  $d\text{-Al}_2\text{O}_3$ 의  $0.089^\circ(2\theta)$ 의 거의 中間에 位置한다. 따라서 이들 値는 4配位와 6配位의 中間의 値이나 이것들이

5配位의 配位數를 취하는 것인지 4配位와 6配位의 雙方을 취하는 것인지는 이 結果만으로서는 알 수가 없다. 그리고 알카리被膜의 것은 다른것에 비교하여 6配位의 그것에 가까운 値이다.

X線動徑分布解析法에 의하여 같은 8種類의 被膜에 관하여 그 原子間距離를 檢討한 結果는 다음과 같다. 图 3-5, 图 3-6 및 表 3-4를 보면  $1.91\text{\AA}$ 付近에 나타나는 피크가  $\text{Al}-\text{O}$ 의結合에 의한 것이라고 한다면 結晶에 있어서 알려져 있는  $\text{Al}-\text{O}$ 間의 距離는 알루미늄이 四面體 4配位를 하였을 경우에는  $1.77 \sim 1.83\text{\AA}^\circ$ 정도이고 八面體 6配位의 경우에는  $1.90 \sim 1.95\text{\AA}^\circ$ 정도이다. 따라서 被膜中의  $\text{Al}$ 은 이들의 中間이지만 오히려 6配位에 가까운 値를 나타내게 된다. 平均  $2.69\text{\AA}^\circ$ 付近에 나타나는 피크는 第二隣接原子의  $\text{O}-\text{O}$ 間의 距離 또는 스핀 네構造의  $\gamma\text{-Al}_2\text{O}_3$ 에 있어서의 6配位의  $\text{Al}$ 과 4配位의  $\text{Al}$ 에 相當하는 距離이다. 上述의 原子間距離의 考察에서  $\text{Al}-\text{O}$ 의 配位는 4와 6의 中間이며 6配位에 가까운 것으로 생각된다.

以上의 結果로부터 被膜中의  $\text{Al}$ 은  $\gamma\text{-Al}_2\text{O}_3$ 의構造에 있어서와 같은 4配位와 6配位를 취하는 것이라 생각된다.

#### 4. 被膜의 發色原因에 관한 檢討

##### 4-1 서 론

前章까지에서 被膜構造에 關하여 대강의 概念을 얻었으므로 本章에 있어서는 지금까지 얻어진 結果를 기초로하여 被膜의 發色原因을 考察

表 3-2

各種 被膜의  $\Delta 2\theta$  的 比較

被膜의 種類	$\Delta \lambda (A)$			$\Delta \lambda (A)$ 的 平均值	$\Delta 2\theta$ 的 換算值
黃 酸 被 膜	0.0018	0.0017	0.0017	0.0017	0.069
蘇 酸 被 膜	0.0015	0.0016	0.0016	0.0016	0.065
에 머 탈 被 膜	0.0018	0.0017	0.0016	0.0017	0.069
크 롬 酸 被 膜	0.0017	0.0016	0.0017	0.0017	0.069
설포 살릴酸被膜	0.0019	0.0017	0.0017	0.0018	0.073
페놀설폰酸被膜	0.0016	0.0016	0.0016	0.0016	0.065
알 카 리 被 膜	0.0022	0.0021	0.0018	0.0020	0.081
黃 酸 被 膜	0.0018	0.0017	0.0017	0.0017	0.069
$\text{CaO} \cdot \text{Al}_2\text{O}_3$	0.0010	0.0010	0.0009	0.0010	0.041
$\alpha - \text{Al}_2\text{O}_3$	0.0023	0.0022	0.0022	0.0022	0.089

(注) 1. 이 實驗의 返復精度는  $\pm 0.0002 \text{ \AA}$  이다.

2.  $\Delta \lambda$ 로부터  $\Delta 2\theta$ 으로의 換算은  $1^\circ = 0.0247 \text{ \AA}$  ( $2d = 8.808 \text{ \AA}$ )로 計算하였다.

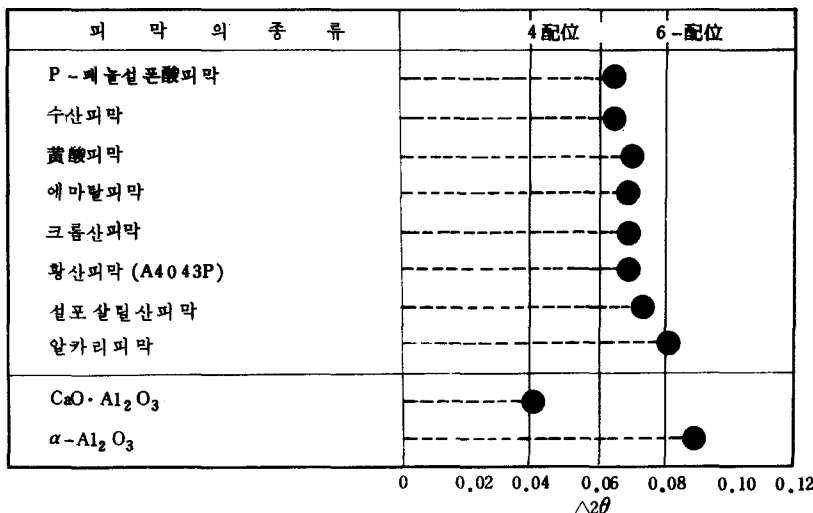


图 3-2 各種 피막의 Al 配位数

한다. 이 目的을 위하여 各種의 機器分析을 導入하여 얻어지는 各種의 データ를 比較検討하여 発色機構를 研究하였다. 먼저 可視吸收スペクトル을 測定하여 特定波長의 選擇吸收의 有無를 조사하고 다음에 赤外線吸收スペクトル에서 被膜中の 分子나 이온등의 発色에의 寄与에 관하여 檢討하였다. 나아가서 X線マイクロローラライザー에 의하여 被膜断面을 線分析하고 諸元素의 濃度分布를 測定하였다. 또 被膜을 加熱處理하여 이때의 脱色過程과 結晶化의 関係를 X線回折法으로 檢討하였다.

#### 4-2 実驗方法 및 測定法

##### 4-2-1 試料 및 試料調製法

可視吸收スペクトル, 赤外線吸收スペクトル, 마이크로-

나라이저의 各에 關하여서는 表 2-2 (金속표면 처리 12 卷 3 號 p.184)에 나타낸 8種類의 被膜을 試料로 하였다.

試料는 모두 알루미늄에 被膜을 生成한 板狀인 것을 그대로 使用하였다.

X線回折 및 脱色과 轉移를 檢討하기 위한 試料는 黃酸被膜, 설포살릴酸被膜 및 페놀설포酸被膜의 三種類로 하였다.

X線回折用試料는 機械的으로 꺾어 被膜을 剥離하고 微粉化하였다. 그리고 脱色의 測定用試料는 板狀인 것을 그대로 使用하였다.

##### 4-2-2 可視吸收スペクトル測定

裝置는 島津製作所製 · RSF-7B型 分光光度計를 使用하고 反射法으로 測定하였다.

表 3-3

## 被膜中の含有元素, 物比와 密度

項目 被膜의 종류	含有元素의 물비					密度 (g/cm <sup>3</sup> )
	Al	O	Fe	S	P, C, Si	
황 酸 被 膜	0.3455	0.6203	0.0003	0.0340	-	3.0200
簃 酸 被 膜	0.4000	0.6000	-	-	-	2.9600
에 머 탈 被 膜	0.4000	0.6000	-	-	-	3.0900
크 롬 酸 被 膜	0.4000	0.6000	-	-	-	2.9400
설포 살틸酸被膜	0.3591	0.6147	0.0006	0.0253	-	2.9880
페놀설폰酸被膜	0.3523	0.6167	0.0012	0.0293	C: 0.0004	3.0400
알 카 리 被 膜	0.7161	0.2769	0.0055	-	P: 0.0012	2.9600
황 酸 被 膜 (A 4 O 4 3 P)	0.2973	0.5685	0.0011	0.0411	Si: 0.0920	3.0300

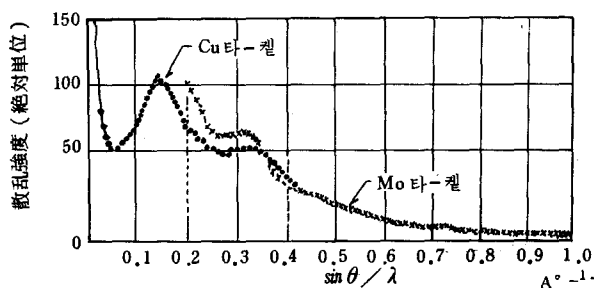


図 3-3 蘭산피막의 X線 散乱強度曲線

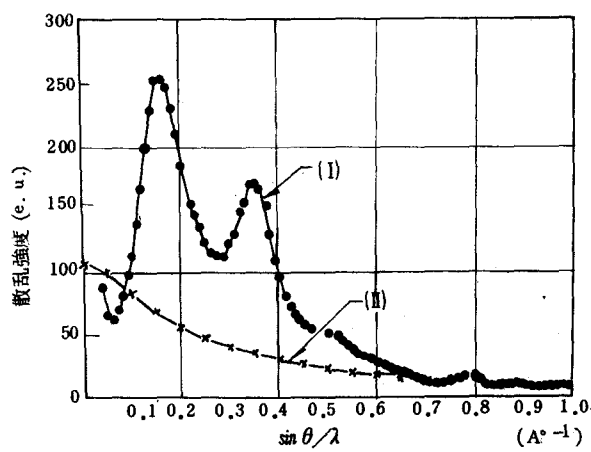


図 3-4 蘭산피막의 X線 散乱強度 補正曲線

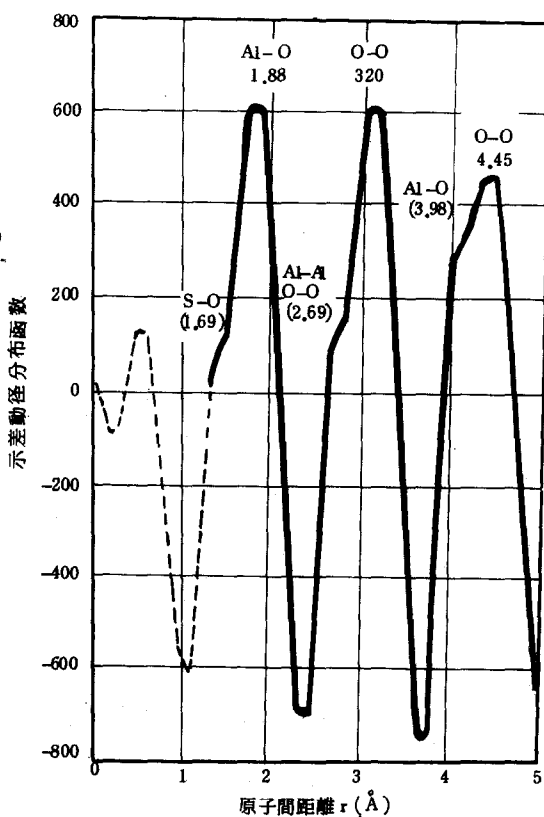


図 3-5 黄酸皮膜의 示差動径分布曲線

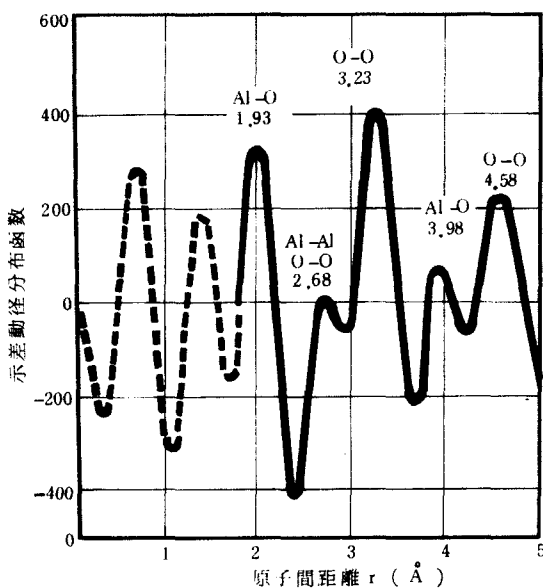


图 3-6. 수상피막의 示差動径分布曲線

測定レンズ는 O-100, スリット幅 0.05 mm로 하였다.

#### 4-2-3 可視吸收スペクトル의 测定

測定装置는 日本分光工業株式會社製·CS-403G型 赤外分光光度計를 使用하고 多重反射法으로 测定하였다. 測定은 13回 反射하여 行하였다.

#### 4-2-4 X線マイクロアナライ저에 의한 测定

裝置는 島津製作所製·EMX-2A型을 使用하고 加速電壓 20KV, 試料電流 0.05~0.1 μA, 電子線徑은 約 1μ로 하였다. 分光結晶은 LIF, ADP 및 KAP를 使用하였다. 測定試料는 10×10 mm의 板狀試料는 埋込樹脂中에 固定시켜 鏡面研磨를 行한 후 카본 또는 크롬蒸着을 行하여서 測定하도록 하였다.

#### 4-2-5 被膜의 脱色과 転移의 测定

被膜의 加熱은 酸化霧圍氣下의 電氣爐中에서 行하고 升溫速度 200 °C/hr 保持時間 1 時間 測定溫度範圍는 室溫~1,050 °C의 條件으로 加熱後

表 3-4 被膜의 示差動径分布関数曲線의 極大値에 对한 原子間距離

被膜의 種類	原子間距離 (Å)	1.5	2.0	2.5	3.0	3.5	4.0	4.5	5.0	5.5	6.0	6.5	7.0	7.5
	~	~	~	~	~	~	~	~	~	~	~	~	~	~
黃酸被膜	1.88	-	2.69	3.20	3.98	4.45	-	5.40	5.80	-	-	7.00	-	-
蘇酸被膜	1.93	-	2.68	3.23	3.98	-	4.58	5.25	5.95	-	6.63	7.25	7.93	
에머탈被膜	1.95	-	2.70	3.25	3.98	-	4.60	5.23	5.95	-	6.58	7.28	7.78	
크롬酸被膜	1.93	-	2.70	3.23	3.98	-	4.60	-	5.90	-	6.53	7.28	7.83	
설포삼틸酸被膜	1.88	-	2.69	3.20	-	4.15 4.45	-	5.48	5.80	-	6.75	7.05	-	
페놀슬픈酸被膜	1.90	-	2.80	3.25	-	4.05	4.58	5.25	5.93	-	6.55	7.25	7.80	
알카리被膜	1.90	-	2.70	3.25	-	4.23	4.85	-	5.75	-	6.45	7.23	7.93	
黃酸被膜 (A4043P)	1.93	-	2.65	3.23	3.98	-	4.53	5.23	5.95	-	6.63	7.25	7.90	

空氣中에 들어내어 被膜의 色調變化를 눈으로 觀察하였다.

轉移過程은 試料를 酸化霧圍氣電氣爐中에서 加熱溫度 900 °C까지는 2 時間, 1,000 °C, 1,050 °C는 1 時間의 保持後 X線回折法에 의하여 測定하였다.

#### 4-3 實驗結果

##### 4-3-1 可視吸收スペクトル分析

8種類의 被膜의 可視吸收スペクトル을 測定한結果를 图 4-1에 나타낸다. スペクト를은 모두 브로우드한 吸收로서 特定波長의 吸收는 볼 수 없었

다. 굳이 말하자면 紫外部領域에 強한 브로우드한 吸收를 볼 수 있었다. 또 蘇酸被膜과 A4043 P材의 黃酸被膜의 吸收는 다른것 보다 약간 빛나가는 傾向을 나타내며 브론즈発色被膜은 모두 透光度가 낮은 値를 나타내고 있다.

##### 4-3-2 赤外線吸收スペクトル分析

8種類의 被膜의 赤外線吸收スペクトル을 測定한結果를 图 4-2에 나타낸다. 단, 크롬酸被膜과 알카리被膜에 관하여서는 全被膜에 共通된 吸收밖에 볼 수 없었으므로 이 图에서는 刪除하였다.

어느 스펙트를도  $1120 \text{ cm}^{-1}$ 에 明確한 吸收를 볼 수 있었다.

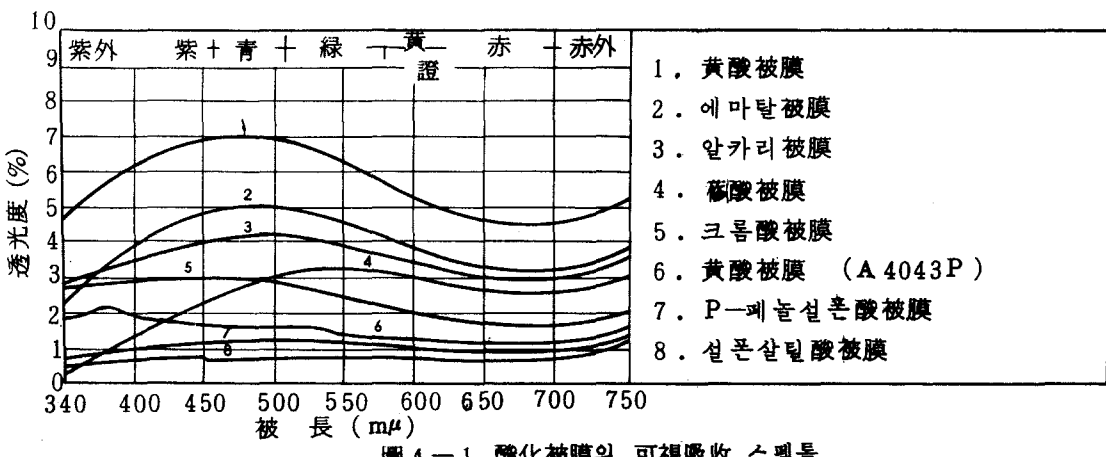


圖 4-1 酸化被膜의 可視吸收 스펙트럼

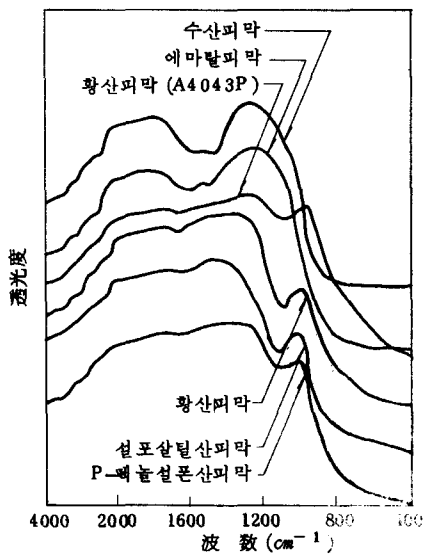


圖 4-2 산화피막의 赤外線吸收스펙트럼

#### 4-3-3 X線マイクロアナライザ에 의한 被膜의 線分析

A1100P材의 黃酸被膜의 分析結果를 圖 4-3에 나타낸다. Al, O, Si는 被膜의 斷面에서 거의 均一하게 分布하고 있지만 Fe는 確認할 수 없었다.

修酸被膜의 그것은 圖 4-4와 같으며 Al, O는 거의 均一하게 分布하고 있지만 Al의 濃度는 黃酸被膜보다는 높고 Fe가 偏在하고 있음을 볼 수 있었다. 그러나 C는 檢出되지 않았다.

에마탈被膜에서는 圖 4-5와 같고 Al은 不均一한 分布를 나타냈다. Fe는 거의 볼 수 없었고 Ti가 不均一한 分布를 하고 있고 表面層 일수

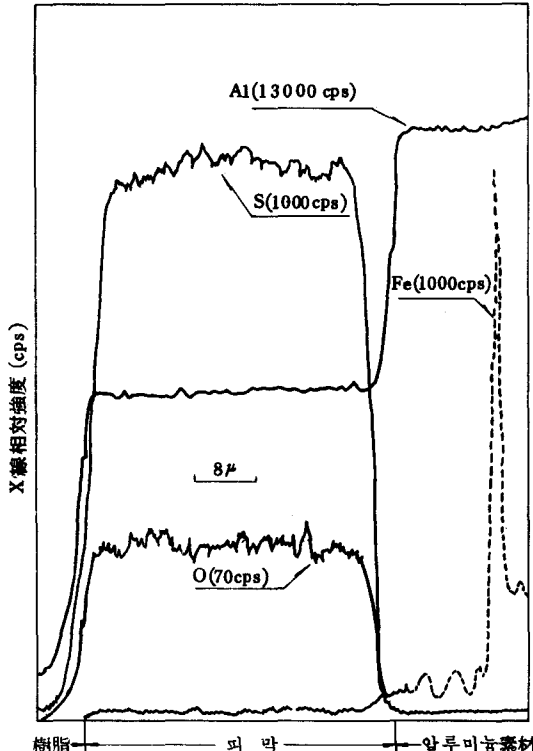
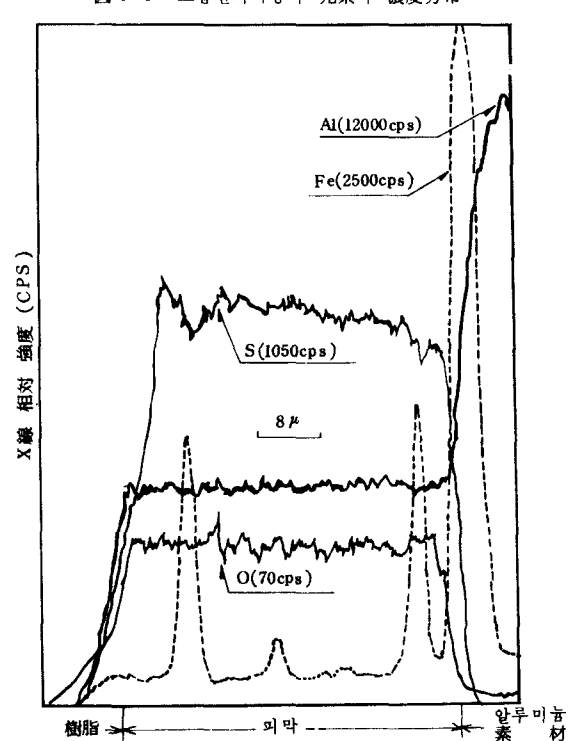
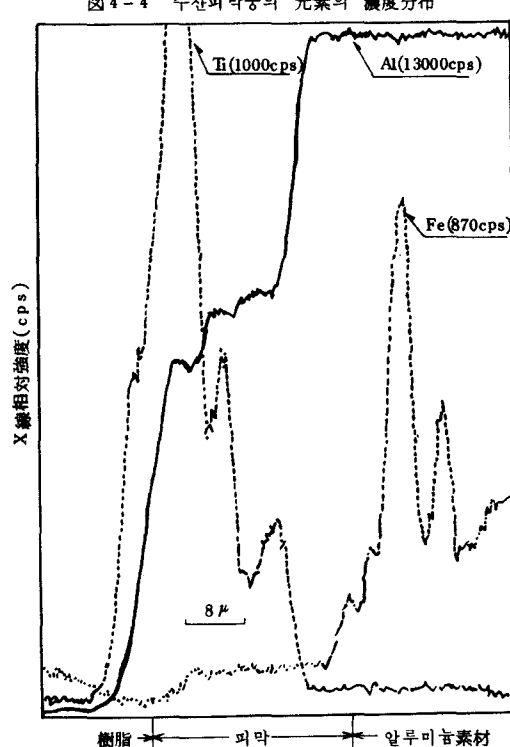
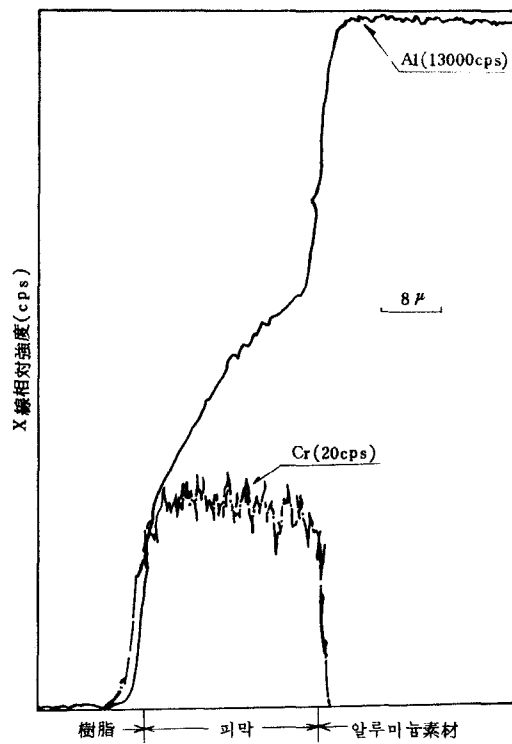
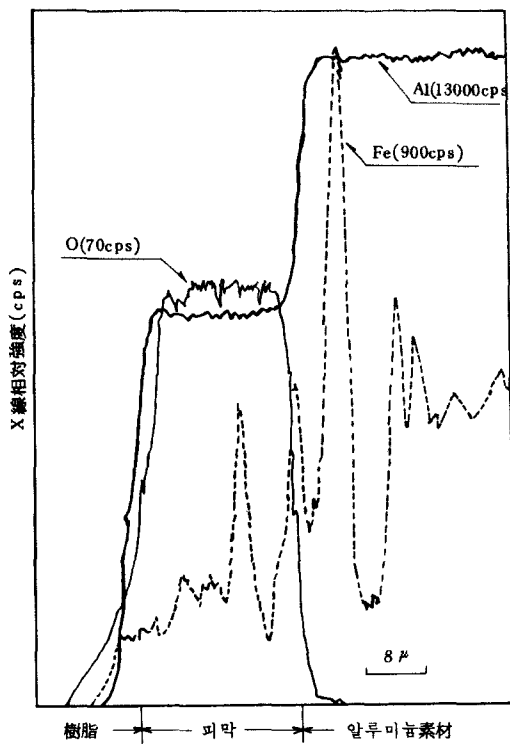


圖 4-3 黃酸皮膜中の 元素의 濃度分布

록 높은 分布를 나타냈다.

크롬酸被膜에서는 圖 4-6과 같은 結果로 되며 Al이 極히 不均一한 分布를 나타내고 Cr은 상당히 均一하게 分布되어 있었다.

설퍼 살릴酸被膜에서는 圖 4-7에서 보는 바와 같이 Al, O, S의 分布는 黃酸被膜에 비하여 모두 均一하며 그것들의 分布狀態에는 거의 差를



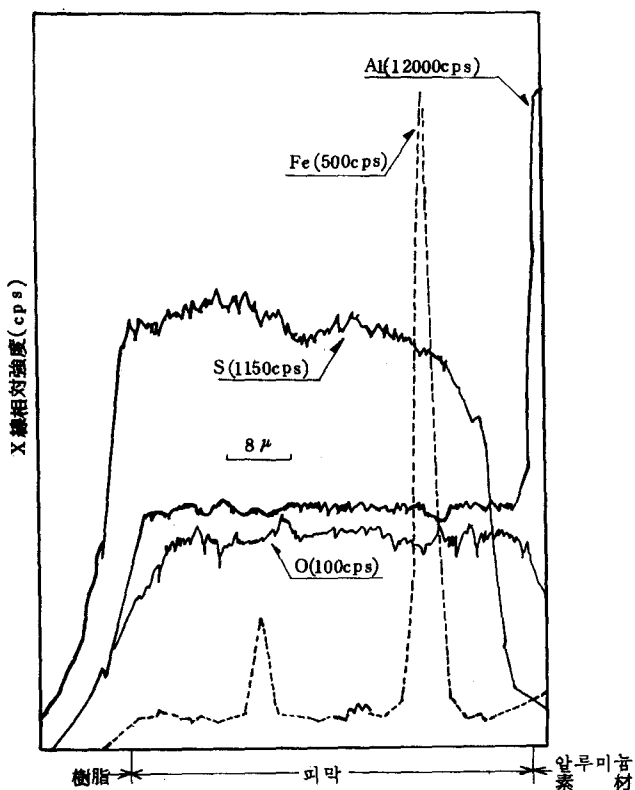


图 4-8 P-Fe 铝硅酸盐瓷中的元素浓度分布

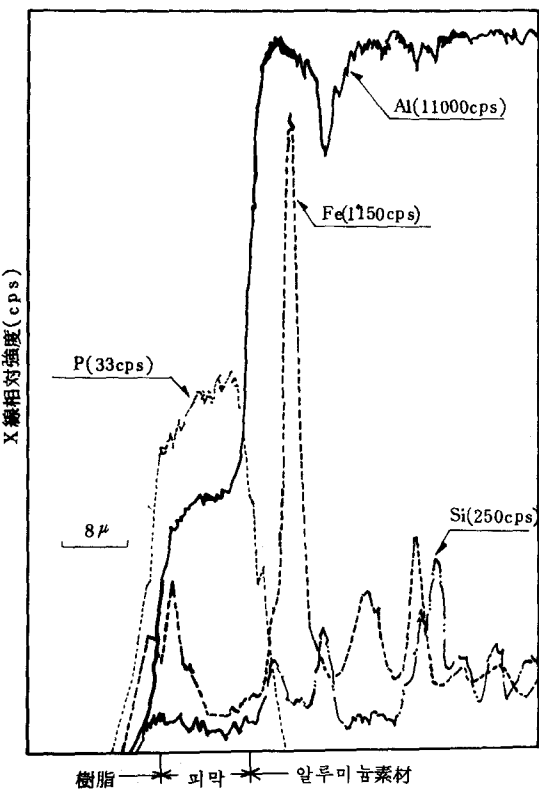


图 4-9 铝酸盐瓷中的元素浓度分布

表 4-1 各種 被膜의 色 및 成分元素의 濃度分布

被膜의 色 및 元素 被膜의 種類	被膜의 色	Al	O	Fe	Si	Ti	P	Cr	S
黃酸被膜	無色透明	○	△	-					△
蘇酸被膜	黃色	○	○	×					
에머탈被膜	乳灰色	△		-	×	×			
크롬酸被膜	乳白色	△						○	
설포살릴酸被膜	暗褐色	△		×					△
페놀설휘酸被膜	暗褐色	○	○	×					△
알카리被膜	乳白色	○	○	×	-		△		
黃酸被膜 (A4043P)	黑灰色	○	○	×	×				△

(註) ○ : 均一한 濃度分布

- : 檢出되지 않은 것을 표시한다.

△ : 不均一한 濃度分布

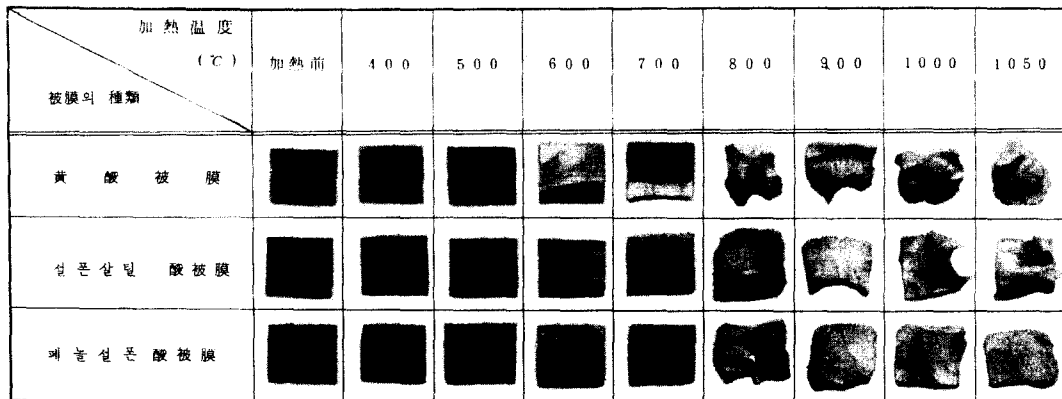
空欄 : 測定하지 않은 것을 나타낸다.

× : 厚い한 濃度分布

을 수 없었다. 단, Al의 浓度에는 그 差를 볼 수 있었다. 또 Fe는 素材中과 마찬가지로 被膜 中에서도 偏在하고 있었다. P-페놀설휘酸被膜에서는 图 4-8과 같으며 Al, O, S의 分布狀

態와 浓度는 설포살릴酸被膜과 類似해 있고 Fe는 被膜中에서 偏在하고 있다.

알카리被膜은 图 4-9에 나타낸 바와 같이 Al, P는 不均一하게 分布하고 있다. Fe는 偏在되



寫真 4-1 酸化被膜의 加熱에 의한 脱色變化

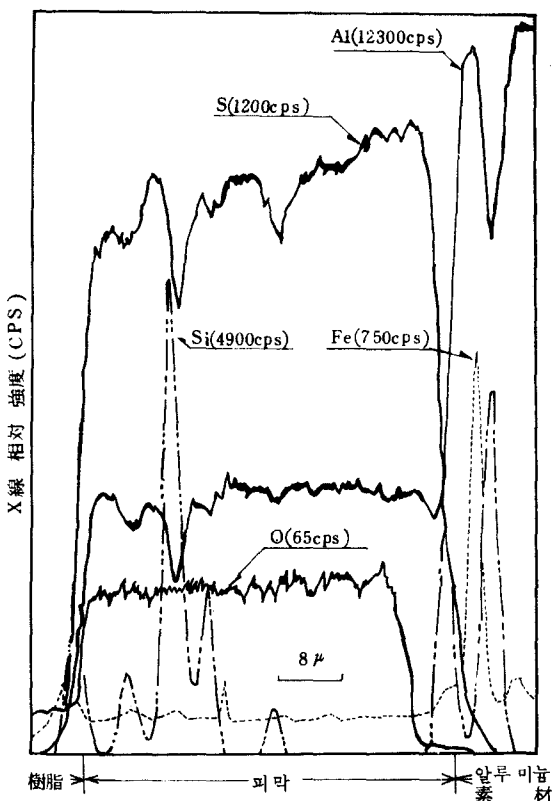


図 4-10 黃산피막중의 원소의 濃度分布 (A4043P)

있으며 Si는 거의 볼 수 없었다.

A4043P材의 黃酸被膜은 圖 4-10에서 볼 수 있듯이 Al, S, O는 거의 均一하게 分布되어 있고 Al1100P材의 黃酸被膜과 類似하였다.

Fe는 거의 볼 수 없었고 Si의 高濃度偏在를 볼 수 있었다.

以上의 結果로부터 被膜中의 諸元素의 濃度分布를 종합하면 表 4-1과 같아된다.

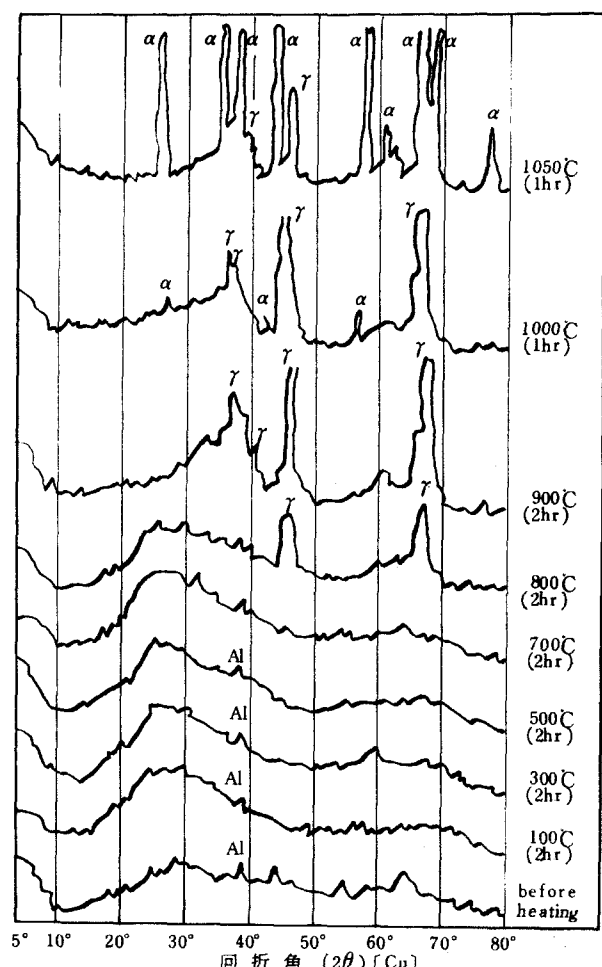


図 4-11 설포살탈산피막의 加熱前後에 있어서의 X線回折度

#### 4-3-4 被膜의 加熱에 의한 脱色과 전이

加熱에 의한 脱色變化를 写真 4-1에 나타낸다.

브론즈色으로 発色한 被膜은 400 °C ~ 800 °C 사이

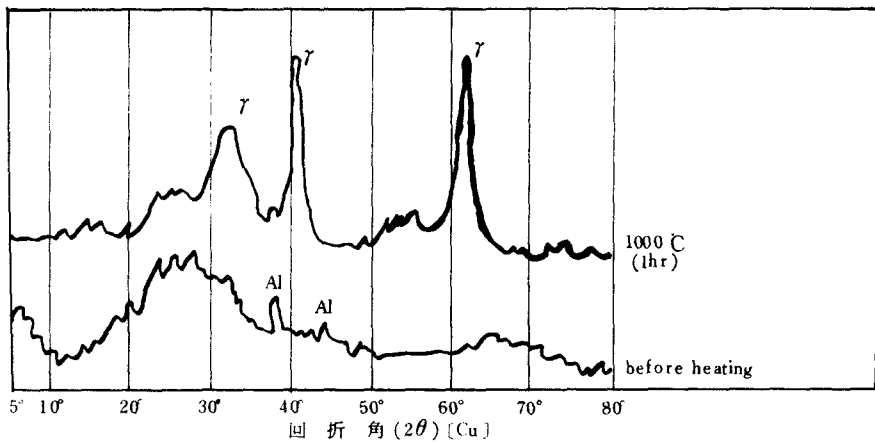


图 4-12 黄酸皮膜의 加熱前後에 있어서의 X 線回折圖

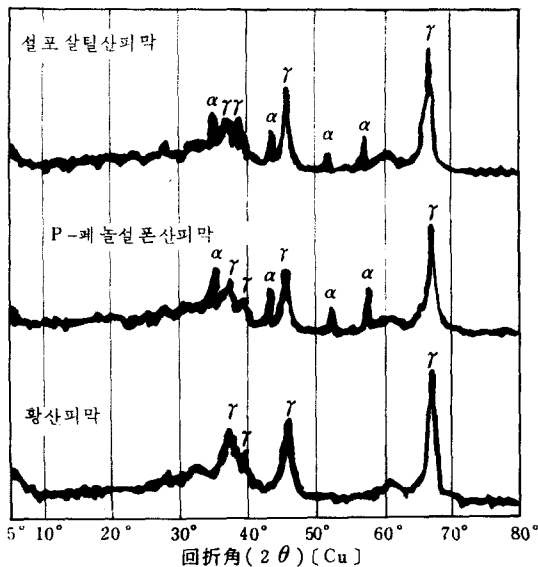


图 4-13 1,000°C 加熱後의 산화피막의 X線回折 패턴

에서 서서히 脱色한다. 900 °C에서는 完全히 脱色하고 1,050 °C에서는 失透化하여 白磁狀으로 된다. 被膜中에 S를 含有하고 있는 설포살틸酸被膜의 加熱에 의한 X線回折變化를 图 4-11에, 또 黄酸被膜의 그것을 图 4-12에 나타낸다. 图 4-11에 나타낸 바와 같이 800 °C에서  $\gamma$ -Al<sub>2</sub>O<sub>3</sub>이 晶出되기 시작하여 900 °C에서  $\gamma$ -Al<sub>2</sub>O<sub>3</sub>으로 된다. 1,000 °C에서는  $\alpha$ -Al<sub>2</sub>O<sub>3</sub>가 晶出을 시작하여 1,050 °C에서  $\alpha$ -Al<sub>2</sub>O<sub>3</sub>로 된다. 또 黄酸被膜의 경우에는 1,000 °C, 1時間에서  $\gamma$ -Al<sub>2</sub>O<sub>3</sub>으로 되어 있다.

설포 살틸酸被膜, p-페놀설푼酸被膜 및 黄酸被膜 (A1100P材)의 1,000 °C 加熱後의 X線回折圖는 图 4-13에서 볼 수 있는 바와 같이 설포살틸酸被膜과 p-페놀설푼酸被膜의 그것과 類似하기는 하지만 이것들과 無色透明의 黄酸被膜과는 回折圖形이 다르다. 또 発色被膜쪽이 轉移는 빠르고 黄酸被膜에서는  $\gamma$ -Al<sub>2</sub>O<sub>3</sub>뿐이지만 설포살틸酸被膜과 p-페놀설푼酸被膜에서는  $\alpha$ -Al<sub>2</sub>O<sub>3</sub>을 볼 수 있다.

#### 4-4 考 察

##### 4-4-1 可視吸收スペクトル

可視吸收スペクトル分析의 結果, 黄酸被膜 (A1100P材) 설포살틸酸被膜, p-페놀설푼酸被膜, 크롬酸被膜, 에머탈被膜 및 알카리被膜의 吸收スペクト를은 450 m $\mu$  ~ 500 m $\mu$ 付近에 피크를 갖는 브로우드한吸收로 되고, 可視領域에 있어서의 特定波長의 選擇吸收는 볼 수 없었다. 또 蔗酸被膜은 545 m $\mu$ 付近에 黄酸被膜 (A4043P材)은 370 m $\mu$ 付近에 피크를 갖는 브로우드한 스펙트럼이었다.

이들 브로우드한 스펙트럼에는 크게 나누어 2개의吸收가 있으며 그 하나는 680 m $\mu$ 付近에 다른 하나는 340 m $\mu$ 以下의 紫外部領域에 存在한다. 그리고 이 2개의 피크의吸收強度는 紫外部쪽이 強하다. 이와같은 점으로써 推定할 수 있는 被膜의 色은 近紫外部의吸收에 의한 黄色系의 色에 赤外部에 가까운吸收에 의한 青色系의 色이 加算된 色調라 생각되며 특히 黄色系가 支配因子로 되는 色調를 나타낸다.

事實 蔗酸被膜의 吸收スペクト를이 다른 것 보다도

約  $60 \text{ m}\mu$  長波長側에 있고 被膜은 他의 것보다도 黃色이 強하다.

黃酸被膜, 에머탈被膜 및 알카리被膜은 無色透明내지는 白色系의 色調임에도 불구하고 薩酸被膜등과 마찬가지로 近紫外部의  $680 \text{ m}\mu$  付近에 吸收를 갖지만 吸光度에 큰 差가 있으므로 거의 無色으로 觀察되는 것으로 생각된다. 크롬酸被膜의 色調도 乳白色이지만 吸收스펙트를의 피크는 알카리被膜에 比하여 約  $45 \text{ m}\mu$  短波長側에 빛나고 있다. 이것은 被膜中의 Cr의 影響에 의하는 것으로 생각된다.

8種類의 被膜中에서 가장 높이한 吸收스펙트를 나타내는 A4043P材의 黃酸被膜은  $370 \text{ m}\mu$  付近에 작은 피크를 갖는 브로우드한 吸收로서 다른 被膜과는 多少 電子狀態가 다른 것으로 생각되는데 그것이 Si의 影響에 의한 것인지도 여부는 不明하다.

#### 4-4-2 赤外線吸收스펙트

赤外線吸收스펙트의 結果를 考察하면 被膜中의 分子나 이온의 振動 및 回轉에 네르기 單位間의 遷移에 起因하는 吸收를 볼 수 있었다.

모든 被膜에서 볼 수 있었던 吸收는  $3,500\text{cm}^{-1}$  付近의  $\text{AlO}-\text{H}$ 의 伸縮振動에 의한 吸收,  $1,600\text{cm}^{-1}$  付近의  $\text{Al}=\text{O}$ 의 伸縮振動에 의한 吸收 및  $1,100\text{cm}^{-1}$  付近의  $\text{Al}=\text{OH}$ 의 變角振動에 의한 吸收, 나아가서  $900\text{cm}^{-1}$  付近의 極히 強한  $\text{Al}=\text{OAl}$ 에 의한 伸縮振動에 의한 吸收등이었다.<sup>26,27,28)</sup>. 이밖의 吸收는  $2,350\text{cm}^{-1}$  付近에 나타나는 空氣中의  $\text{CO}_2$ 가 개스에 의한 것이라 생각되는 吸收가 있었다.

個의 被膜에 特有한 吸收로서는 薩酸被膜과 에머탈被膜에  $1,550 \sim 1,590\text{cm}^{-1}$  및  $1,460\text{cm}^{-1}$  付近에 2개의 幅넓은 吸收를 볼 수 있었다. 이것들은  $-\text{COO}^-$ 에 歸屬된다.<sup>29,30)</sup> 그리고 黃酸被膜(A1100P材), 설포살릴酸被膜 및 p-페놀薩酸被膜으로부터는  $1,120\text{cm}^{-1}$  付近에  $>\text{SO}_4^{2-}$ 에 歸屬하는 吸收를 볼 수 있었다. 설포살릴酸被膜에는 薩酸基로 생각되는 極히 弱한 吸收가  $1,300\text{cm}^{-1}$  付近에서 볼 수 있었다. A4043P材의 黃酸被膜의 吸收는 A1100P材의 경우 類似하지만  $1100\text{cm}^{-1}$  付近의  $>\text{SO}_4^{2-}$ 의 吸收는 비틀어져 있으며 이것은 被膜中의 Si에 의한 影響이라 생각된다.

以上의 사실로 보아 被膜中의 S는 基로서 含有되어 黃酸被膜, 설포살릴酸被膜 및 p-페놀薩酸被膜과 같은 黃酸支配型의 被膜中에는  $\text{SO}_4^{2-}$ 가 含有되어 있음이 明白하며 또 暗褐色으로 發色한 설포살릴酸被膜과 같은 芳香族薩酸을 電解液成分으로 해서 生成되는 被膜中에서는 有機酸에 의한 吸收는 볼 수 없었다. 따라서 芳香族薩酸 自体는 被膜中에 侵入하지 않고 또 陽極酸化時의 分解도 일어나지 않는다고 생각되며 有機酸의 發色에의 効果에 關해서는 赤外線吸收스펙트로서는 明確한 結論은 얻을 수 없었다. 단 薩酸被膜 및 에머탈被膜에는  $-\text{COO}^-$ 를 볼 수 있었지만  $-\text{COO}^-$ 가 發色에 關与하고 있다고 생각되는 것은 薩酸被膜의 경우뿐이고 에머탈被膜中에 Ti가 含有되고 있는 것, 그리고 그것이 高電壓電解에 의한 生成物임을 아울러 생각하면 發色에의 寄与는  $-\text{COO}^-$ 以外의 要因도 상당히 큰것으로 推定된다.<sup>31)</sup>

以上的 사실로 보아 赤外線吸收스펙트에 의한 被膜의 分析結果를 종합해보면 表 4-2와 같다. 이것으로 보아 被膜은 라디칼을 含有하는 것과 金屬元素 또는 그 酸化物을 含有하는 被膜으로 分類할 수 있다.

#### 4-4-3 X線マイクロアナライ저에 의한 考察

알루미늄과 酸素의 濃度分布는 A4043P材의 黃酸被膜을 除外하고는 極히 類似하며 알루미늄이 均一하게 酸化되고 있음이 明白해졌다. 단 에머탈被膜, 크롬酸被膜 및 알카리被膜에는 알루미늄의 濃度勾配를 볼 수 있었다. 이것은 일단 生成된 被膜이 時間의 經過에 따라 電解液에 의한 溶解를 받는다. 이는 微細孔이 表面에서부터 갈대기狀의 構造로 되어 있는 것을 볼 때 이와같이 推定된다. 또 알루미늄素材의 濃度를 100으로 했을 때의 被膜中의 알루미늄濃度는 圖 4-114에 나타낸 結果와 같다. 또한 알루미늄의 濃度勾配가 있는 것에 관하여는 被膜의 中心(두께 方向)의 値를 나타내었다.

이 圖로 보아 明白하듯이 알루미늄의 濃度는 알카리被膜을 除外하고는 黃酸支配型의 被膜과 金屬元素 또는 그 酸化物에 의한 被膜으로 分類할 수가 있다. 크롬酸被膜의 알루미늄의 濃度는 가장 理論值에 가깝지만 電解液側으로부터 金屬이 含入된 被膜은 알루미늄의 濃度가 흘어지는 傾向이 있었다. 또한 檢出된 元素는 태반이 被膜中에 存在하지만 微細孔中の 元素도 含有되어 있다고 생각된다.

被膜의 發色과 電解質의 関係에 관하여 考察하

면 被膜中에 Ti, Cr 및 P를 含有하는 被膜은 이들의 影響을 받아 乳白色系의 發色으로 되며 또 알루미늄素材中의 不純物<sup>32)</sup>과 被膜表面의 微視的 凹凸이 色調에 影響을 주고 있는 것으로 推定된다.

그리고 被膜中에 주로 S를 含有한 被膜과 S以外에 Al을 除外한 金屬元素 또는 酸化物을 含有하는 被膜과는 그것들의 構造가 약간 다르며 發色의 因子가 兩者 사이에는 차이가 있는 것으로 생각된다. 事實 外觀觀察에 따르면 發色에 이온의 關係 있다고 생각되는 被膜과 金屬이 關係 있다고 생각되는 被膜과는 外觀의 으로도 差異가 明白하다. 그리고  $>SO_4^{2-}$  를 含有하고 있는 경우에도 그 色調는 無色透明과 暗褐色의 二者가 있

다는 사실로 생각해 보면  $>SO_4^{2-}$  가 主發色因子라고 생각되지는 않고 發色이 有機酸基 自體의 效果에 의한 것인지 또는 脂肪酸基의 分解에 의하여 生成하는  $>SO_4^{2-}$  가 因子로서 작용하는지는明白하지 않다.

A4043P材의 黃酸被膜의 發色은 合金成分의 Si가 析出하고 있기 때문의 光의 散亂 및 吸收가 原因이라 생각된다. 其他의 微量元素(Fe, Cu, Zn, Mg, Mn 등)의 發色에의 寄与는 밝혀내지는 못하였지만 合金으로서의 각元素의 濃度가 높아지면 當然 合金發色으로 될 수 있다는 점을考察해 微量元素도 色調에의 그 어떤 因子로 되는 것이라 推察된다.

#### 4-4-4 被膜의 脱色과 転移

表4-2

被膜中에 含有된 이온과 元素

被膜의 種類	電解液으로부터의 元素·이온		알루미늄 素材로부터의 元素
	金屬元素	이온	
黃酸被膜	-	$SO_4^{2-}$	
黃酸被膜(A4043P)	-	$SO_4^{2-}$	Fe
설포살릴酸被膜	-	$SO_4^{2-}$	Si
P-페놀설플酸被膜	-	$SO_4^{2-}$	Cu
修酸被膜	-	$COO^-$	Zn
크롬酸被膜	Cr *	-	Mn
알카리被膜	P *	-	Mg
에머탈被膜	Ti *	$COO^-$	

\* Cr, P, Ti가 被膜中에 金屬으로 含有되는지 그의 酸化物로 含有되는지는 明確치 않다.

圖4-11에 나타냈듯이 설포살릴酸被膜 및 p-페놀설플酸被膜에서는 脱色과 結晶화間에 關係성을 볼 수 있었지만 被膜中의  $>SO_4^2$  的 分解가 約 900°C에서 頗著해짐을 考察할 때 黃酸이온의 分解와 被膜의 脱色과는 直接의 關係이 없는 것으로 推定된다. 또 X線マイクロアナライ저에의 하여 加熱過程中의 S濃度를 分析한 結果를 圖4-15에 나타낸다. 이것으로 보면 被膜中의 S濃度는 500°C까지는 變化가 없고 600°C에서 약간 減少하며 그 以上의 溫度에서는 상당히 急速하게 減少하여 1,100°C에서는 20~30 cps가 된다. 따라서 이런 점에서 보더라도 色의 脱色變

化와 S의 濃度變化間에는 相關性을 발견할 수 없었다. 黃酸被膜에서는 前期二者와 달리 1,000°C에서도  $\gamma$ -Al<sub>2</sub>O<sub>3</sub>의 피크뿐인 것으로 보아 結晶화에 의한 轉移溫度는 前記二者와는 差異가 있다. 또 加熱에 의한 被膜의 密度變化는 圖4-16과 같으며 이 圖로 보아도 800°C付近에서 轉移가 시작되는 듯 하며 1,000°C에 있어서도 아직  $\gamma$ -Al<sub>2</sub>O<sub>3</sub>의 密度이고 1,100°C가 되면  $\alpha$ -Al<sub>2</sub>O<sub>3</sub>와 같은 値가 된다. 따라서 설포살릴酸被膜과 黃酸被膜 보다도 높은 密度를 갖는다.

以上을 要約하면 다음과 같이 된다.

(i) 被膜은 모두 可視領域에 있어서 特定波

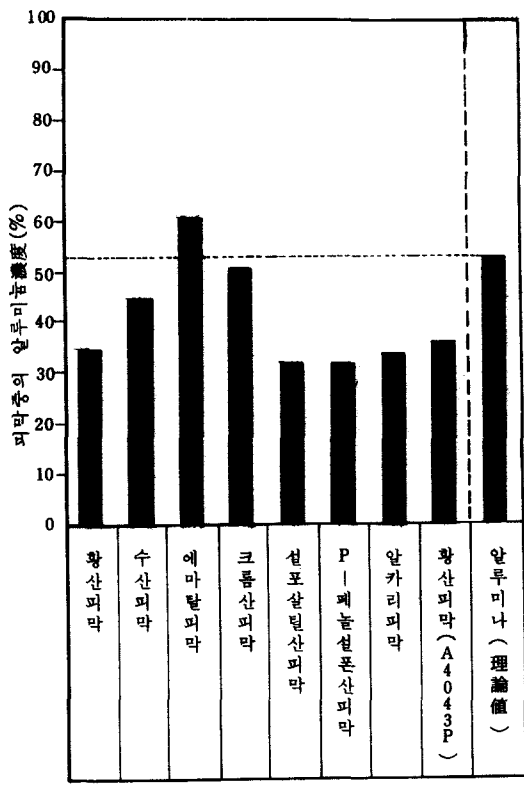


图 4-14 皮膜中的铝含量的浓度比较

長의 選擇吸收를 나타내지 않았지만 被膜의 種類에 따라 吸收帶에 차이를 볼 수 있었다.

(ii) 加熱에 의한 相轉移에 差가 있는 것으로 보아 加熱前의 被膜의 構造는 다른 것으로 생각된다.

(iii) 被膜은 電解液의 種類에 따라  $> SO_4^{2-}$  나  $-COO^-$  등의 이온을 主로 含有하는 被膜과 Al以外의 金屬 또는 그 酸化物을 主로 含有하는 被膜의 2개로 分類된다.

(iv) 被膜의 表面色調는 라디칼을 含有하는 경우에는 透明黃色系이고 逆으로 金屬元素를 含有하는 경우에는 不透明하고 연한 乳白色系의 發色을 이루며 특히 에마랄被膜에서는 그 傾向이 현저하다.

(v) 黃酸이온을 含有하는 被膜의 發色因子에 関하여는 明白치는 않지만 설포酸을 電解液成分으로서 갖는 경우에는 이것들이 發色에 寄与한다는 것을豫測할 수 있다.

(vi) 被膜中에 殘留하는 合金成分은 被膜의 色調에 影響을 미치며 특히 Si에서는 이 現象이 현저하다.

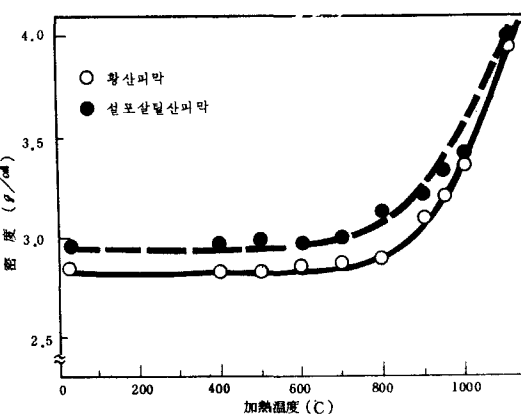
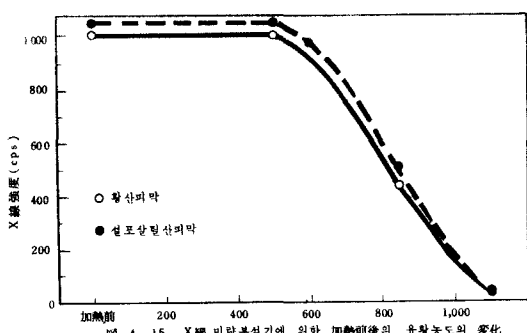


图 4-16 加热에 의한 피막의 密度變化

## 参考文献

24. Derbert E.Day; Nature, 200 649 (1963)
25. G.A.Dorsey, Jr.; J.Elec. Chem. Soc., 113 № 3 № 284 № 286(1966)
26. G.A.Dorsey, Jr.; J. Elec. Chem. Soc., 115 1053(1968)
27. 田島, 馬場, 村嶺; 電氣化學, 38 122(1970)
28. N.B.Colphus; J.Opt. Soc. Am., 40 397 (1950)
29. 力丸, 佐藤; 「金屬表面技術第48回學術講演大會要旨集」, 18(1973)
30. G.C.Wood, V.J.J.Marron, B.W.Lambeert; Nature, 199 239(1963)
31. 阿部, 内山, 大塚; 金屬表面技術, 24 36 (1979)
32. 福島; 「輕金屬學會第34回春期學術講演大會要旨集」, 173(1968)